

## I-12 水制の機能に関する研究(II)

—— 水制、主流域内の遷移領域 ——

九州大学工学部 橋東一郎

大学院 田原誠

山口大学工学部 斎藤隆

### まえがき

直線水路の片側に設置された起流型の水制区间では、水制群と主流との相対変化によって水制域の流速は流れ方向に減速され、逆に主流域の流速は加速され下り、一定の流速配分に漸近していく。このとき横方向の流量(流速)分布は、図-1にモデル的に示すように水制域と主流域との間に流量(流速)が急激に変化する遷移領域を形成している。この形は境界層の発達のように水制区域前端からその厚さを増すが、下流に行くとともに発達の割合を減じ、流れは一定のパターンを持つようになる。この遷移領域は水制の流量配分に影響をもつだけではなく、複合粗度の問題として理論的興味もあるので、以下簡単なモデルに基づいて検討してみたい。なお、解析に用いた実験は、 $b = 木路幅 / 12m$ ,  $b_2/b = 0.25 \sim 0.05$ , 水制高さ / 水制周期 = 5, 10, 20とした粗度土については、それぞれ 3種の流量割合を行なわせたものである。(第22回土木学会講演会)。

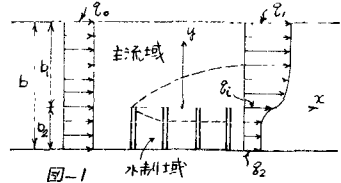


図-1

### 1. 流れの基礎式

水制区间が充分長く、流れは平衡状態に達してハタモトとする。水制の先端は原点となり、流れ方向に  $x$  軸、それに垂直水平に  $y$  軸をとると、 $x$  方向には静水圧分布に従うとして、 $y$  方向の運動方程式を河床より水面まで積分すると平均流速は次のようになる。

$$U = g(c - \frac{\partial h}{\partial x}) - \frac{T_0}{fR} + \frac{1}{f} \frac{\partial T_{yx}}{\partial y} \quad \dots \dots \dots (1)$$

ここで  $T_0$  は河床の剪断応力の流速係数を  $\varphi$  とすると  $T_0/f = U^2/\varphi^2$  を表わされ、 $T_{yx}$  は渦動粘性係数  $\gamma$  を導入して  $\frac{1}{f} \frac{\partial T_{yx}}{\partial y} = \frac{\partial}{\partial y} (\gamma \frac{\partial U}{\partial y})$  である。

等流流れの場合に水制を設置した場合には、水制区间及びその上流には水面変化が説明され、この変化は  $b_2/b = 0.25$  の場合には小さく、 $b_2/b = 0.05$  の場合にはかなり影響を与えるようである。しかししながら、縦横の変化を同時に考慮することはきわめて困難であるので、横方向の遷移領域を主眼として  $K$  方向の変化を無視する。主流域: 水制域の流速係数を  $\varphi_1, \varphi_2$  とし、遷移領域外側の主流速度: 水制域速度を  $U_1, U_2$  とすると、基礎式は、主流域: 水制域 =  $\rightarrow \rightarrow$  のようになる。

$$\frac{U_1^2 - U_2^2}{\varphi_1^2} + K \eta_1 \frac{d^2 U_1}{dy^2} = 0 \quad \frac{U_2^2 - U_1^2}{\varphi_2^2} + K \eta_2 \frac{d^2 U_2}{dy^2} = 0. \quad \dots \dots \dots (2)$$

ここで、渦動粘性係数  $\gamma$  は、水制域: 主流域の粗度の差異、あるいは流速係数(抵抗係数)の差異によつて発生する乱れによるもので、その函数形は明確でない。従つて、次の

$$\text{Case I: } \gamma = k R u \quad \dots \dots \dots (3)$$

$$\text{Case II: } \gamma = K R (U_1 - U_2) \quad \dots \dots \dots (4)$$

$$\text{Case III: } \gamma = L^2 \frac{du}{dy} \quad (\text{prandtl's law}) \quad \dots \dots \dots (5)$$

を考え、それらに對する(2)の解である流量分布形と実験値と比較してから、 $\eta$ の曲線形、係数 $K_1, K_2$ を求めていく。 $k_1 = k_2$ とする。

## 2 横方向遷移領域の解 — $\eta = k_1 \eta^2 u$ の場合

i) 主流域・基礎式(2)は、 $\eta_1 = k_1 \eta^2 u_1$  を用いると、

$$\frac{U_1^2 - U_2^2}{g_1^2} + k_1 \eta^2 u_1 \frac{d^2 u_1}{dy^2} = 0 \quad \dots \dots \dots (6)$$

ここで、 $K_1^2 = 2/k_1 \eta^2 g_1^2$  において、境界条件  $y=0: u_1=u_2$  (水制先端の流速)、 $y=b_1: u_1=U_1$  を導入すると

$$\frac{U_1^2 - U_2^2}{U_1^2 - U_2^2} = \frac{\sinh K_1(b_1-y)}{\sinh K_1 b_1}, \quad z=1, \quad K_1^2 = \frac{2}{k_1 \eta^2 g_1^2} \quad \dots \dots \dots (7)$$

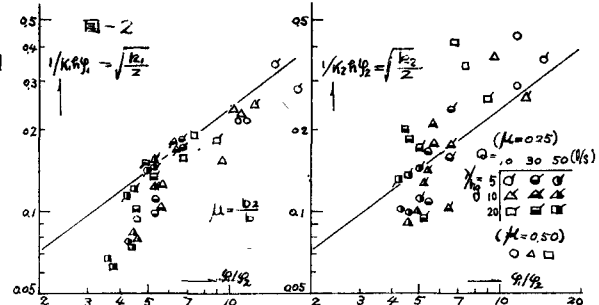
水制域( $y < 0$ )と同様にして

$$\frac{U_2^2 - U_1^2}{U_1^2 - U_2^2} = \frac{\sinh K_2(b_2+y)}{\sinh K_2 b_2}, \quad z=2, \quad K_2^2 = \frac{2}{k_2 \eta^2 g_2^2} \quad \dots \dots \dots (8)$$

係数  $K_1, K_2$  を実験結果より便観してみる。左は  $y$  方向に変化しないため  $u$  はすべて 0 とおき、(7) (8)において  $K_1 b_1, K_2 b_2 > 2$  をあたため、次の近似式

$$\frac{q_1^2 - q_2^2}{q_1^2 - q_2^2} \approx e^{-K_1 y}, \quad \frac{q_1^2 - q_2^2}{q_1^2 - q_2^2} \approx e^{K_2 y} \quad (y < 0) \quad \dots \dots \dots (9)$$

を用いて、 $K_1, K_2$  を計算する。 $1/K_1 \eta^2 u_1, 1/K_2 \eta^2 u_2$  が lateral 方向の流速分布を発生させる要因である  $q_1/q_2$  に対する  $μ$  だとすると、図-2 のように  $K_1$  と  $1/K_1 \eta^2 u_1$  にはかなり明確な相関関係が得られる。仮定通り実験上  $μ = 0.25$  の資料を主に用い、 $q_1/q_2 = 1$  で  $1/K_1 \eta^2 u_1 = \sqrt{k_1/2} = 0.426$  を通る直線となり、 $\sqrt{k_1/2} = 0.426 \times (q_1/q_2)^n$  となる。  
 $ie$   
 $k_1 = \frac{1}{275} \left(\frac{q_1}{q_2}\right)^{2n}$



$z=1$ 、 $η_1 ≈ 2.75$ 。上の表示で  $q_1=q_2$  のときには、 $(K_1)_{q_1=q_2} = 1/275$  である。一方、vertical 方向の渦動粘性係数は、 $ε = K_1 u_1 h / 6$  と等しいから、vertical は、 $(1/15)^2$  で表わされ、これは Case I の  $η_{\text{LATERAL}} = 1.175$  と同形である。さらにこの実験では、 $q_1 ≈ 18.4$  であるから、 $(K_1)_{q_1=q_2} = 1/275 = 1/159$  における。従って、遷移領域にみられる顕著な速度勾配は  $q_1/q_2$  の差異によって発生し、横方向の渦動粘性係数は縦方向の  $(q_1/q_2)^2$  倍であることが推定され、係数  $k_1$  は次の形におく。

$$k_1 = \frac{1}{159} \left(\frac{q_1}{q_2}\right)^{2n} \quad \dots \dots \dots (10)$$

あとで述べる STRESS の連続条件から  $k_1/k_2 = k_1$  とされることが推定されるから、 $K_1, K_2$  は

$$K_1 = \sqrt{\frac{2}{k_1}} \frac{1}{K_1 \eta^2} = \sqrt{30 q_1} \cdot \left(\frac{q_1}{q_2}\right)^n \frac{1}{K_1 \eta^2}, \quad K_2 = \sqrt{30 q_2} \cdot \left(\frac{q_1}{q_2}\right)^n \frac{1}{K_1 \eta^2} \quad \dots \dots \dots (11)$$

(11)における  $q_1$  は、ほんの無限遠に一定とみなさるが、 $q_2$  は摩擦度実験から  $h/h_0 = f_1$  で 図-3

のように変化する： おおよそ、 $R/R_g = 1.5 \sim 7$  の範囲では近似的に直線とみなせる。従って

$$K_2 = \alpha (R/R_g)^m \quad \text{--- (12)}$$

$\approx 1$ ,  $\alpha, m$  は  $\sqrt{R_g}$  の函数で、 $\alpha = 1.1 \sim 1.5$ ,  $m = 0.7 \sim 0.9$  である。

結果  $K_1, K_2$  は (12) を用いて、

$$K_1 = \sqrt{30} \alpha^n q_i^{n-1/2} \left( \frac{R}{R_g} \right)^{mn-1/4}, \quad K_2 = \sqrt{30} \alpha^{n-1/2} \left( \frac{R}{R_g} \right)^{mn-1/4} \quad \text{--- (13)}$$

ii)  $y=0$  における Stress の連続条件、 $\eta_1(dU/dy)|_{y=0} = \eta_2(dU_2/dy)|_{y=0}$

$$+ k_1 \left( \frac{dU_1^2}{dy} \right)_{y=0} = + k_2 \left( \frac{dU_2^2}{dy} \right)_{y=0} \quad \text{--- (14)}$$

(7), (8) を微分して、(14) を代入すれば、

--- (15)

$$\frac{U_1^2 - U_2^2}{U_1^2 - U_2^2} = \frac{k_2 K_2}{k_1 K_1} \frac{\coth K_2 b_2}{\coth K_1 b_1} \div \frac{k_2 K_2}{k_1 K_1} = \sqrt{\frac{k_2}{k_1}} \frac{q_1}{q_2} = IK \quad \text{--- (15)}$$

実験結果から、 $U_1, U_2, U_3$  を用いて逆算した  $IK = q_1/q_2$  に対する plot ある

と図-4 に示すように、 $IK$  は  $q_1/q_2$  に近乎等しい。従って  $K_1 \approx K_2$  である

とみなされる。(11) 参照) 尖端速度  $U_3$  は、 $U_2/U_1 \approx q_2/q_1$  を考慮すれば、図-5 に示すように

$$\frac{U_3}{U_1} = \sqrt{\frac{1 + (U_2/U_1)IK}{1 + IK}} = \sqrt{\frac{q_2}{q_1}} \quad \frac{U_3}{U_2} = \sqrt{\frac{q_1}{q_2}} \quad \text{--- (16)}$$

iii) 流量分布式は、(7), (8), 及びその簡略式 (9) を表わせる。

なお、(16) を用いれば、

$$\text{主流域: } \frac{q}{q_2} = \left[ 1 - \left( 1 - \frac{q_1}{q_2} \right) \frac{\sinh K_1(b_1-y)}{\sinh K_1 b_1} \right]^{1/2} \quad \text{--- (17)}$$

$$= \left[ 1 - \left( 1 - \frac{q_1}{q_2} \right) e^{-K_1 y} \right]^{1/2} \quad \text{--- (18)}$$

$$\text{水制域: } \frac{q}{q_2} = \left[ 1 + \left( \frac{q_1}{q_2} - 1 \right) \frac{\sinh K_2(b_2+y)}{\sinh K_2 b_2} \right]^{1/2} \quad \text{--- (19)}$$

$$= \left[ 1 + \left( \frac{q_1}{q_2} - 1 \right) e^{K_2 y} \right]^{1/2} \quad \text{--- (20)}$$

3. 横方向遷移領域の解  $\eta = k R (U_1 - U_2)$  の場合

i) 主流域：基礎式 (2) に、 $\eta_1 = k R (U_1 - U_2)$  を用いると、

$$\frac{U_1^2 - U_2^2}{q_1^2} + k_1 R^2 (U_1 - U_2) \frac{d^2 U_1}{dy^2} = 0. \quad \text{--- (21)}$$

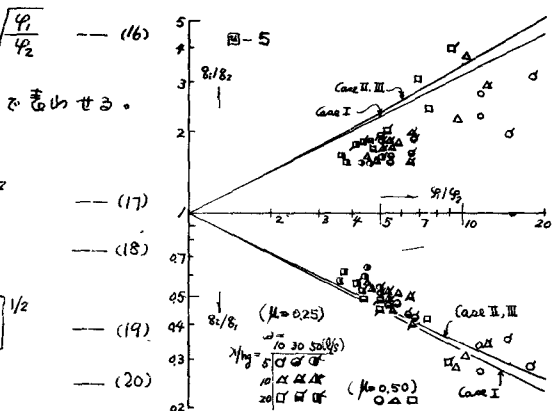
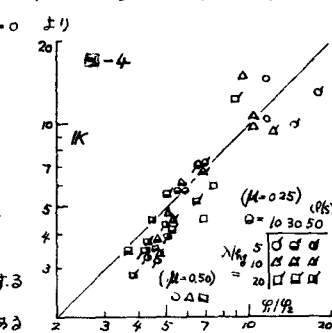
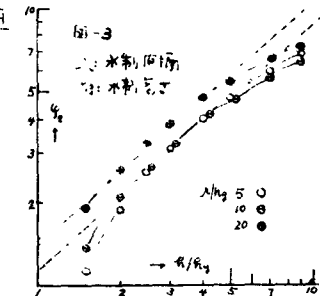
いま、 $K_1^2 = 3 k_1 R^2 q_1^2 (U_1 - U_2) / 2 U_1$  とおいて、境界条件  $U_1 = U_1 : dU_1/dy = 0$  を導入すると、

$$\frac{dU_1}{dy} = + \sqrt{\frac{1}{K_1^2 U_1} (U_1 - U_2)^2 (2 U_1 + U_2)} \quad \text{--- (22)}$$

$U_1/U_1 = X_1$  とおき 積分して  $I(X_1) = \int dX_1 / (1 - X_1) (2 + X_1)^{1/2} = Y/K_1$  を表わせば、

$$I(X_1) - I(X_{11}) = -\frac{Y}{K_1}. \quad \text{--- (23)}$$

$$X_1 = U_1/U_1, \quad X_{11} = U_{11}/U_1, \quad K_1^2 = 3 k_1 R^2 q_1^2 (U_1 - U_2) / 2 U_1$$



水制域 ( $y < 0$ ) を同軸に  $L_2$ ,

$$I(X_1) - I(X_{12}) = -\frac{y}{k_2} \quad \dots \dots (24)$$

$$z = l = , \quad X_2 = U_2/U_1, \quad V_{12} = U_1/U_2$$

$$K_2^2 = 3 k_2 R^2 Q_2^2 (U_1 - U_2) / 2 U_2$$

俌数  $K_1, K_2$  は実験結果より得られ、図-6  
のようになるから、直線を仮定すれば

$$\frac{K_1}{R_1 Q_1} / \left( 1 - \frac{U_2}{U_1} - \sqrt{\frac{3}{2}} k_1 \right) = \alpha_1 \left( \frac{Q_1}{Q_2} \right)^{n_1} \quad \dots \dots (25)$$

$$z = l = , \quad \alpha_1 = \alpha_2 \approx 0.17, \quad n_1 \approx 0.69, \quad n_2 \approx 0.44.$$

ii) Stress の連続条件から

$$+ k_1 \left( \frac{du_1}{dy} \right)_{y=0} = + k_2 \left( \frac{du_2}{dy} \right)_{y=0} \quad \dots \dots (26)$$

(22) を用ひると、

$$\frac{(U_1 - U_2)(2U_1 + U_2)^{1/2}}{(U_1 - U_2)(2U_2 + U_1)^{1/2}} = \frac{k_1}{k_2} \cdot \frac{K_1}{K_2} \sqrt{\frac{U_1}{U_2}} = \frac{\sqrt{k_1}}{k_2} \frac{Q_1}{Q_2} = lK \quad \dots \dots (27)$$

図-7 の実験結果から  $lK = (Q_1/Q_2)^{3/2}$  従って  $k_2/k_1 = \sqrt{Q_1/Q_2}$  である。尖端  
速度  $U_1$  は、(27) から得らる山図-5 の曲線で示される。

iii) 流速分布形は、 $Q_1/Q_2$  を与えれば、図-5 の関係から尖端流量  $Q_1$  が定まり。 $(25)$  を用ひて  $(23), (24)$  から  $X_1, X_2$  すなはち  $Q_1, Q_2$  を与えれば  $y$  が求められる。

#### 4. 結果

計算式および実験結果を Case III を含めて示すと、図-8  
のようになる。Case I がよく一致している。図-2, 5  
における俌数  $k_1, k_2$  の取り方を、Case I にすれば無理が  
ないようである。

#### 5. まとめ

Fr 数の小さな越流型連続水制の流れにおけることは、水制  
主流域の粗度による乱れが発生する。これを  
流速俌数の割合  $Q_1/Q_2$  によって代表させれば、遷移領域  
における流量分布は、渦動粘性俌数として  $\eta = k_1 R_1 U_1 (=$   
 $= l = f(Q_1/Q_2))$  によって規定されることが分った。

